

بررسی و مدل سازی سه بعدی رخساره های الکتریکی سازند داریان با استفاده از زمین آمار در میدان نفتی رشادت

الهام اسدی مهماندوستی*، سعید میرزایی؛ دانشگاه خوارزمی، دانشکده علوم زمین، گروه زمین شناسی
سید علی معلمی؛ شرکت ملی نفت ایران، پژوهشکده ازدیاد برداشت مخازن نفت و گاز
بیتا ارباب؛ شرکت نفت فلات قاره

پذیرش ۹۶/۰۶/۱۹

دریافت ۹۵/۱۲/۲۵

چکیده

در نبود پژوهش های پتروگرافی یا محدودیت آن، تعیین رخساره های الکتریکی و مدل سازی سه بعدی مخازن کربناته می تواند نقشی مهم در ارزیابی پارامترهای پتروفیزیکی نظیر تخلخل و تراوایی داشته باشد. بررسی نمودارهای گاما و چگالی سازند داریان در ۲۷ حلقه چاه میدان نفتی رشادت واقع در خلیج فارس که زون های کربناته محدود دارند، منجر به شناسایی ۱۲ رخساره الکتریکی بر اساس روش خوشه بندی زمین آمار شد. مقایسه رخساره های الکتریکی شناسایی شده با داده های مغزه موجود نشان داد که رخساره الکتریکی ۱ بهترین و رخساره های الکتریکی ۱۱ و ۱۲ کمترین کیفیت مخزنی را در سازند داریان در میدان نفتی بررسی شده دارند. با استفاده از رابطه تخلخل و تراوایی در هر یک از زون های سازند داریان و جای گذاری تخلخل مؤثر به جای تخلخل مغزه، نمودار تخمین تراوایی ترسیم شد. همچنین مدل سازی ساختمانی نشان داد که میدان نفتی رشادت تاقدیسی با روند شمال شرق - جنوب غرب است که دارای ساختار گنبدی ملایم با شیب ۱ الی ۳ درجه در دامنه ها است و قله این گنبد در لایه های مخزنی بسیار هموار است. مدل سازی سه بعدی رخساره های الکتریکی شناسایی شده مخزن داریان با استفاده از روش شبیه سازی شاخص متوالی نشان داد که زون ۱ را به دلیل فراوانی زیاد رخساره های الکتریکی ۱۱ و ۱۲، اشباع آب فراوان، پیریتی بودن و تخلخل و تراوایی اندک می توان به عنوان یک زون غیرمخزنی در نظر گرفت. در حالی که زون ۲ به دلیل فراوانی زیاد رخساره های الکتریکی با کیفیت مخزنی بیشتر، تخلخل و تراوایی زیاد و اشباع آب اندک بهترین کیفیت مخزنی را دارد. زون ۳ سازند داریان دارای رخساره های الکتریکی با گامای زیاد است که کیفیت مخزنی کمی نیز دارد، ولی نسبت به زون ۱ کیفیت مخزنی بهتری دارد. قسمت های بالایی زون ۳ نیز اشباع آب کمی دارند. فراوانی رخساره های الکتریکی با کیفیت مخزنی زیاد در زون ۴ نسبت به زون ۲ کم تر است، ولی کیفیت مخزنی بیش تری نسبت به زون ۱ و ۳ دارد. با این حال اشباع آب در بیش تر بخش های زون ۴ زیاد است.

واژه های کلیدی: رخساره های الکتریکی، مدل سازی سه بعدی، سازند داریان، زمین آمار، کیفیت مخزنی

مقدمه

در خلیج فارس، سازند داریان معادل سازند شعیبا^۱ در کشورهای عربی و بخشی از گروه خامی است [۱۳]. سازند داریان و معادل آن در جنوب خلیج فارس، یک واحد تولیدکننده هیدروکربور است. این سنگ آهک ها مخازن مهم

تولیدکننده نفت در چندین میدان در شرق عربستان سعودی، امارات متحده عربی، عمان و مناطق دور از ساحل ایران و قطر هستند. این سازند، تولیدکننده هیدروکربور در جنوب خلیج فارس تا شرق فارس/کمان قطر (میادین بلال و رشادت) است [۱۳].

با توجه به این که در سال‌های گذشته بحث گسترش میادین و اکتشافات جدید مخازن فرعی در صنعت نفت قوت گرفته است؛ به‌ویژه این که گروه خامی یکی از اهداف اصلی این پروژه‌ها است [۵]، از این رو، بررسی دقیق نهشته‌های آهکی سازند داریان از دیدگاه رخساره‌های لاگ و نقش آن‌ها به‌عنوان عوامل کنترل‌کننده کیفیت مخزنی و توزیع سه بعدی آن‌ها، در این خصوص اهمیت دارد.

تا کنون محققان بر اساس مفاهیم مختلف ریاضی و آمار به بررسی رخساره‌های الکتریکی مخازن کربناته ایران پرداخته‌اند (به‌عنوان مثال توکلی ۱۳۸۴، رحیمی بهار و همکاران ۱۳۹۱، سفیداری و همکاران ۱۳۹۳، فرازانی و همکاران ۱۳۹۴، اقبال کیانی و همکاران ۱۳۹۵)، اما بررسی‌هایی روی رخساره‌های الکتریکی و مدل‌سازی سازند داریان بر اساس زمین آمار انجام نشده است. بر این اساس در این مقاله، سازند داریان در ۲۷ حلقه چاه به‌عنوان مهم‌ترین افق مخزنی میدان نفتی رشادت واقع در خلیج فارس به‌منظور بررسی انتخاب شد. از نقطه‌نظر ویژگی‌های مخزنی، سازند داریان در میدان نفتی رشادت با تخلخل خیلی خوب تا عالی و مقدار نسبتاً خوب هیدروکربور مشخص می‌شود. بر اساس داده‌های مغزه و لاگ موجود، سازند داریان متشکل از سنگ آهک و آهک‌های آرژیلیتی است. سازند داریان در میدان نفتی رشادت دارای چهار زون است که به سادگی با سنگ‌شناسی قابل تفکیک هستند. زون ۲ خود به چهار زیرزون (2A 2B, 2C, 2D) و زون ۳ نیز به دو زیرزون (3A, 3B) تقسیم می‌شوند. زون‌های ۱ و ۳ شامل سنگ آهک‌های آرژیلیتی هستند، در حالی که زون‌های ۲ و ۴ عمدتاً سنگ آهک هستند. بر اساس گزارش‌های حاصل از توصیف مغزه و خرده‌های حفاری، زون ۱ سازند داریان کم و بیش پیریتی است (گزارشات داخلی شرکت نفت فلات قاره، ۱۳۸۷). با توجه به این که سازند داریان در میدان نفتی رشادت دارای مقاطع نازک کربناته و پژوهش‌های ریزرخساره‌ای بسیار محدود است، هدف از این مقاله ۱. تعیین رخساره‌های الکتریکی سازند داریان در ۲۷ حلقه چاه با استفاده از روش بدون ناظر و خوشه‌بندی^۱ MRGC، ۲. بررسی کیفیت مخزنی رخساره‌های الکتریکی با استفاده از داده‌های مغزه، ۳. مدل‌سازی ساختمانی سه‌بعدی و استفاده از روش زمین‌آماری شبیه‌سازی شاخص متوالی و ۴. مدل‌سازی سه‌بعدی رخساره‌های الکتریکی شناسایی شده با استفاده از داده‌های لاگ، مغزه و نقشه‌های تراز زیرسطحی در میدان نفتی رشادت است.

موقعیت زمین‌شناسی و چینه‌شناسی منطقه بررسی شده

میدان نفتی رشادت در سال ۱۹۶۶ به‌وسیله شرکت ایمینوکو^۲ کشف شد. این میدان در خلیج فارس در حدود ۱۰۰ کیلومتری جنوب- جنوب‌شرق جزیره لاوان واقع شده است. میدان نفتی رشادت از میادین مهم خلیج فارس از نظر ذخایر نفت و گاز به‌شمار می‌آید. در این میدان تولید نفت از سه سازند مخزنی سروک (میشریف)، داریان و سورمه (عرب) تولید می‌شود و سازند داریان مهم‌ترین افق مخزنی آن است [۱۳]. سازندهای حفاری شده در میدان نفتی

1. Multi Regression Graph Base Clustering
2. IMINOCO

رشادت و ویژگی آن‌ها بر اساس توصیف مغزه و خرده‌های حفاری چاه R32 در جدول ۱ به‌عنوان نمونه نشان داده شده است.

از نظر تکنیکی میدان نفتی رشادت در شرق خلیج فارس واقع شده است. حوضه غنی از هیدروکربن خلیج فارس بخشی از ورقه عربی است که در حاشیه شرقی ورقه عربی میان عرض‌های جغرافیایی ۲۰ تا ۳۰ درجه شمالی و طول‌های جغرافیایی ۴۷ تا ۵۷ درجه شرقی جای گرفته است. در طول فانروزویک این حوضه بخشی از حاشیه غیرفعال قاره‌های گندوانا بوده است که رو به‌سوی اقیانوس پالئوتتیس در زمان پالئوزویک و نئوتتیس در زمان مزوزویک گسترش داشته است [۱]. طی برخورد خشکی عربی و ایران مرکزی (مزوزویک- سنوزویک)، پیش‌گودال مزوپوتامین- خلیج فارس در میان زاگرس چین‌خورده و شلف عربی تشکیل شد. فرونشست پیوسته و به‌نسبت پایدار و شرایط اقلیمی حاکم در طول زمان زمین‌شناسی سبب تشکیل توالی‌های ستبر کربناتی و تبخیری (کم‌تر ماسه‌سنگی) در این حوضه شده است [۱۲]، [۱۷]، [۱۸]. این حوضه چهار دوره تکاملی زمین‌شناسی را تجربه کرده است که شامل الف) کامبرین تا کربونیفر (حاشیه غیرفعال)، ب) پرموتریاس (کافت)، ج) ژوراسیک تا کرتاسه پیشین (حاشیه غیرفعال) و د) کرتاسه پسین تا حال (برخورد قاره‌ای) است [۲۱].

داده‌ها و روش بررسی

در این پژوهش برای بررسی رخساره‌های الکتریکی، کیفیت مخزنی، وضعیت ساختمانی و مدل‌سازی سه‌بعدی رخساره‌های الکتریکی و توزیع آن‌ها از نمودارهای پتروفیزیکی، داده‌های مغزه و داده‌های زیرسطحی سازند داریان در میدان نفتی رشادت استفاده شد. داده‌های در دسترس از چاه‌های بررسی شده در میدان نفتی رشادت را شرکت نفتی فلات قاره، در جدول ۲ به اختصار نشان داده شده است. با توجه به جدول ۲ تنها لاگ‌های گاما و چگالی سازند کربناته داریان در اکثر چاه‌های میدان نفتی رشادت (۲۷ چاه) موجود است و از این رو، لاگ‌های گاما و چگالی برای تعیین رخساره‌های الکتریکی سازند داریان برای ورود به نرم‌افزار Geolog 7 انتخاب شدند. به‌منظور تعیین رخساره‌های الکتریکی سازند داریان از روش خوشه‌بندی MRGC که تلفیقی از هوش مصنوعی و خوشه‌بندی سلسله‌مراتبی است (مدنی و همکاران، ۱۳۹۴)، استفاده شد. همچنین با توجه به نداشتن قطعیت‌های تطابق عمقی داده‌های مغزه و لاگ در میدان نفتی رشادت و وجود نداشتن پژوهش‌های پتروگرافی به‌دلیل محدود بودن مقاطع نازک (فلات قاره، ۱۳۸۷)، به‌منظور تعیین رخساره‌های الکتریکی سازند داریان از روش بدون ناظر^۱ استفاده شد.

روش خوشه‌بندی MRGC یکی از معدود روش‌های مناسب و غیرپارامتریک برای بررسی و تحلیل خوشه‌ای داده‌های حاصل از چاه‌نگارها و مغزه‌های حفاری است. در این روش سعی می‌شود تا داده‌ها به خوشه‌هایی تقسیم شوند تا شباهت داده‌های درون خوشه حداکثر و شباهت بین داده‌های هر خوشه با خوشه دیگر حداقل باشد. مزیت این روش عبارت از نیاز نداشتن به دانش اولیه از مجموعه داده‌ها، کم بودن پارامترها و نبود حساسیت به تغییرات آن‌ها، پایدار بودن نتیجه با تغییر مقدار پارامترها، دارا بودن محدودیت در تعیین تعداد ابعاد نقاط و خوشه و تولید خودکار تعداد بهینه خوشه‌ها بدون دخالت ناظر است [۲۰]. تفاوت اصلی روش خوشه‌بندی MRGC با سایر روش‌های خوشه‌بندی

1. Unsupervised

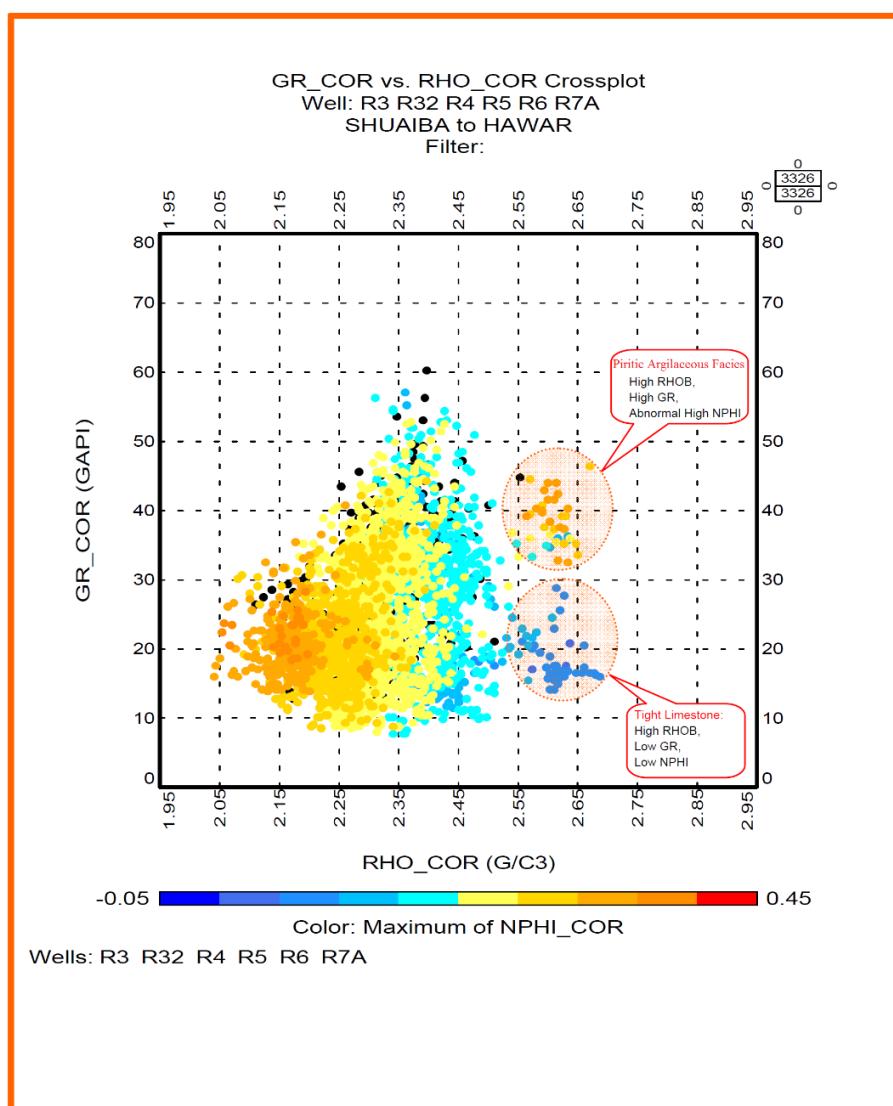
در این است که در این روش نرم افزار تعداد خوشه های مشخصی را به عنوان خروجی به کاربر معرفی می کند و کاربر با در نظر گرفتن پیش زمینه علمی و مطالعاتی در این راستا، بهترین خوشه را انتخاب می کند [۶].

با انتخاب این روش، تعداد حداقل و حداکثر خوشه ها و تعداد مدل هایی که لازم است ساخته شوند، باید مشخص شود که در این قسمت، چندین بار با شرایط مختلف به منظور انتخاب مدل برتر، مدل رخساره های الکتریکی ساخته شده و با یکدیگر مقایسه شدند. بعد از تعیین رخساره های الکتریکی، کیفیت مخزنی هریک از طریق نمودارهای جعبه و خط داده های مغزه بررسی شد. در مرحله بعدی با استفاده از نرم افزار پترل و اطلاعات موجود، مدل ساختمانی میدان، شبکه بندی مخزن، لایه بندی و زون های سازند داریان در میدان نفتی رشادت ساخته شد و متعاقب آن مدل سه بعدی رخساره های الکتریکی در هر یک از زون ها با انتخاب واریوگرام های مناسب و روش زمین آماری شبیه سازی شاخص متوالی که امروزه به صورت متداولی برای مدل سازی سه بعدی رخساره ها استفاده می شود، ایجاد شد [۱۴]، [۱۵]، [۲۳].

تعیین رخساره های الکتریکی سازند داریان

به منظور تعیین رخساره های الکتریکی سازند داریان در میدان نفتی بررسی شده، ۶ چاه که دارای اطلاعات کامل تری بودند به عنوان چاه های مدل انتخاب شدند. بعد از تعیین چاه ها و لاگ های مدل و اینتروال مطالعاتی (سازند داریان)، آموزش داده ها^۱ انجام شد که نتایج آن رسم هیستوگرام نمودارهای مدل و کراس پلات آن ها در مقابل یکدیگر است. کراس پلات های ایجاد شده در تعیین الکتروفاسیس ها و پیش بینی گونه های سنگی سازند داریان در میدان نفتی بررسی شده استفاده شدند. در شکل ۱ نمودار گاما در مقابل نمودار چگالی در چاه های مدل ترسیم شده است که رنگ ها در این شکل نشان دهنده مقادیر نمودار نوترون هستند. ترسیم داده های لاگ گاما در مقابل لاگ چگالی مخزن داریان در چاه تحقیقاتی، سه دسته مجموعه داده را نشان می دهد. دو دسته کوچک مشخص شده در شکل ۱، با توجه به لیتولوژی سازند (اطلاعات توصیف مغزه که سازند داریان را متشکل از سنگ آهک تا آهک های آرژیلیتی و گاه سنگ آهک آرژیلیتی پیریتی نشان می دهد) (گزارش داخلی شرکت نفت فلات قاره، ۱۳۸۷) و اطلاعات لاگ، مرتبط با سنگ آهک های آرژیلیتی و سنگ آهک های کم تخلخل (tight) است. آهک های کم تخلخل با مقادیر خیلی کم نمودارهای نوترون (تخلخل اندک) و گاما (تمیزی سازند) و چگالی زیاد (منعکس کننده تخلخل کم) مشخص می شوند، در حالی که آهک های آرژیلیتی پیریتی با مقادیر خیلی زیاد لاگ چگالی مشخص می شوند. زیاد بودن مقدار نمودار گاما و نوترون در رخساره پیریت دار به دلیل آرژیلیتی بودن این رخساره است. زیرا وجود کانی های رسی سبب افزایش مقدار نمودار گاما و نوترون می شوند.

سپس با روش MRGC ده مدل (تعداد مدل تولیدی اختیاری است) با تعداد خوشه های بین ۶ تا ۳۶ از قبیل مدل های ۶، ۱۰، ۱۲، ۱۵، ۱۹، ۲۱، ۲۵، ۲۸، ۳۰ و ۳۶ خوشه ای ایجاد شد. با توجه به جزئیات و خوشه بندی ریزتر، مدل ۳۶ خوشه ای به منظور بررسی های بیش تر انتخاب شد و با بررسی خوشه ها (رخساره های الکتریکی)، خوشه های دارای ویژگی های نزدیک به هم با یکدیگر ادغام شدند. در نهایت مدل اولیه دارای ۳۶ رخساره الکتریکی به ۱۲ رخساره الکتریکی تبدیل شد. شکل ۲، مدل نهایی رخساره های الکتریکی سازند داریان در میدان نفتی بررسی شده را نشان می دهد.



شکل ۱. ترسیم نمودار گاما در مقابل نمودار چگالی سازند داریان در میدان نفتی بررسی شده. رنگ‌ها در این شکل نشان‌دهنده مقادیر نمودار نوترون است

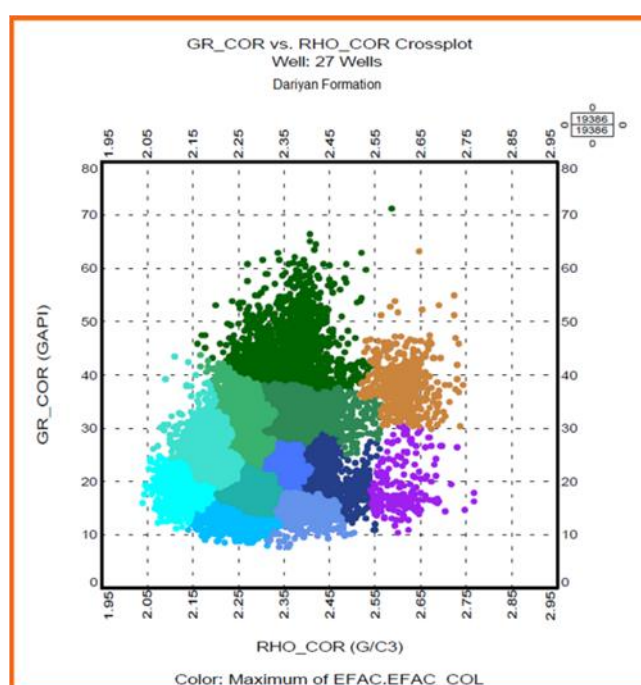
در شکل ۳، کراس پلات نمودار گاما در مقابل نمودار چگالی نشان داده شده است که رنگ‌ها در این شکل نشان‌دهنده انواع رخساره‌های الکتریکی سازند داریان در میدان نفتی بررسی شده هستند. این شکل نشان می‌دهد که رخساره‌های الکتریکی ۱ تا ۱۰ شامل سنگ آهک تا آهک‌های آرژیلیتی است در حالی که رخساره الکتریکی ۱۱ شامل سنگ آهک کم تخلخل و رخساره الکتریکی ۱۲ معرف رخساره آهک آرژیلیتی پیریتی است.

بررسی کیفیت مخزنی رخساره‌های الکتریکی

برای بررسی وضعیت آماری و کیفیت مخزنی آن‌ها رخساره‌های الکتریکی می‌توان از نمودارهای جعبه‌ای، به دلیل کاربرد زیاد در نمایش داده‌ها و تفسیر آسان آن، استفاده کرد. تخلخل به عنوان فاکتور کنترل‌کننده میزان گنجایش سنگ مخزن در ذخیره هیدروکربور و تراوایی به عنوان عامل کنترل‌کننده جریان سیال، نقشی کلیدی در بررسی کیفیت

	NAME	COL	PAT	WEIGHT	RHO_COR	GR_COR
1	FACIES_1			211		
2	FACIES_2			370		
3	FACIES_3			324		
4	FACIES_4			575		
5	FACIES_5			373		
6	FACIES_6			188		
7	FACIES_7			124		
8	FACIES_8			171		
9	FACIES_9			598		
10	FACIES_10			306		
11	FACIES_11			47		
12	FACIES_12			39		

شکل ۲. مدل نهایی رخساره‌های الکتریکی سازند داریان در میدان نفتی بررسی شده واقع در خلیج فارس



شکل ۳. ترسیم نمودار گاما مقابل نمودار چگالی. رنگ‌ها نشان‌دهنده رخساره‌های الکتریکی سازند داریان هستند

مخزنی رخساره‌های الکتریکی سازند بررسی شده دارند [۲۲]. شکل‌های ۴، ۵ و ۶ به ترتیب نمودارهای جعبه‌ای تخلخل مؤثر، تخلخل مغزه و تراوایی افقی مغزه را برای رخساره‌های الکتریکی شناسایی شده سازند داریان در میدان نفتی بررسی شده نشان می‌دهند. بر اساس نمودارهای جعبه‌ای تخلخل مؤثر، تخلخل مغزه و تراوایی افقی مغزه به‌طور کلی به جز چند مورد، از رخساره الکتریکی ۱ به سمت رخساره الکتریکی ۱۲ کاهش می‌یابند و رخساره‌های الکتریکی ۱، ۲ و ۳ بالاترین تخلخل مؤثر، تخلخل و تراوایی افقی مغزه را دارند. در حالی که رخساره‌های الکتریکی ۱۱ و ۱۲ کم‌ترین تخلخل مؤثر را دارند. از این رو می‌توان نتیجه گرفت که عمدتاً کیفیت مخزنی به جز چند مورد، از رخساره الکتریکی ۱ به سمت رخساره الکتریکی ۱۲ کاهش می‌یابد و در این بین رخساره‌های الکتریکی ۱، ۲ و ۳ بالاترین و رخساره‌های الکتریکی ۱۱ و ۱۲ کم‌ترین کیفیت مخزنی را در سازند داریان میدان نفتی بررسی شده دارند. کراس پلات تخلخل و

تراوایی در زون های سازند داریان و رخساره های الکتریکی شناسایی شده در میدان نفتی بررسی شده در شکل ۷ نشان داده شده است. با جای گذاری تخلخل مؤثر به جای تخلخل مغزه در روابط به دست آمده از داده های تخلخل و تراوایی مغزه، این روابط به دست آمد که با استفاده از این روابط، نمودار تخمین تراوایی ایجاد شد:

$$\text{Zone 1} \quad PERM = 10^{**}(-1.32 + 8.31*(PHIE))$$

$$\text{Zone 2} \quad PERM = 10^{**}(-1.57 + 7.83*(PHIE))$$

$$\text{Zone 3} \quad PERM = 10^{**}(-1.83 + 9.20*(PHIE))$$

$$\text{Zone 4} \quad PERM = 10^{**}(-1.57 + 8.67*(PHIE))$$

بررسی وضعیت پتروفیزیکی، توزیع رخساره های الکتریکی و نمودار تخمین تراوایی در چاه هایی با اطلاعات مغزه کامل تر (AR-12 و AR-16) در شکل های ۸ و ۹ نشان داده شده است. بر مبنای شکل های مذکور می توان دریافت که زون یک سازند داریان در میدان نفتی بررسی شده کم و بیش پیریتی است. در زون های ۱ و ۳ مقدار نمودار گاما افزایش یافته که حاکی از آرژیلیتی بودن این زون هاست. در حالی که، زون های ۲ و ۴ دارای گامای اندکی هستند. در بین زون های سازند داریان، زون ۴ دارای گامای کمتری است که با نتایج توصیف مغزه (تمیزترین زون سازند داریان) مطابقت خوبی دارد.

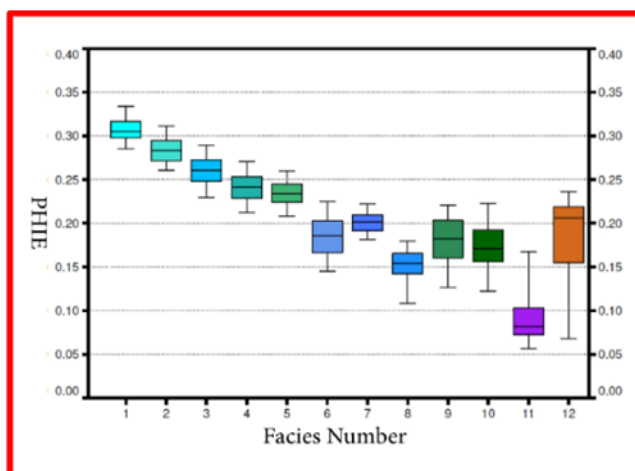
از نظر اشباع آب طبق روش آرچی، زون ۲ سازند داریان اشباع آب بسیار کمی دارد که در نتیجه اشباع هیدروکربور بیشتری دارد. زون ۱، میانگین اشباع آب بیش از ۵۰ درصد دارد و از نظر تخلخل مؤثر نیز زون ۱ نسبت به سایر زون ها مقادیر کمتری دارد. از نظر تخلخل و تراوایی مغزه و نمودار تخمین تراوایی نیز زون ۱ نسبت به سایر زون ها مقادیر کمتری دارد. از این رو زون ۱ اهمیت مخزنی چندانی ندارد. در تعدادی از چاه ها، قسمت های بالایی زون ۳ اشباع آب کمی دارد که می تواند نقش تولیدکننده هیدروکربور داشته باشد، ولی عمدتاً این زون اشباع آب زیادی دارد. بنا براین نسبت به زون ۲ اهمیت مخزنی به مراتب کمتری دارد. زون ۴ سازند داریان که در برگیرنده تمیزترین سنگ آهک های سازند داریان در میدان نفتی بررسی شده است، اشباع آب بالایی نشان می دهد. از طرفی قسمت های پایینی زون ۴، مقادیر اندکی از تخلخل مغزه، تخلخل مؤثر، تراوایی، نمودار تخمین تراوایی و گاما دارند که نشان از سنگ آهک های کم تخلخل دارد. این زون در بعضی از قسمت ها دارای اشباع آب کم و کیفیت مخزنی مناسب است. توزیع رخساره های الکتریکی نیز مطابقت خوبی با بررسی های پتروفیزیکی زون های سازند داریان دارد. توزیع زیاد رخساره های الکتریکی ۱۱ و ۱۲ در زون یک نشان دهنده کیفیت مخزنی کم این زون است در حالی که توزیع بالای رخساره های الکتریکی ۱، ۲ و ۳ در زون ۲ نشان گر کیفیت مخزنی بیش تر این زون هستند. نمودار تخمین تراوایی نیز تطابق مناسبی با توزیع رخساره های الکتریکی دارد. به منظور درک بهتر کیفیت مخزنی، مدل سازی سه بعدی رخساره های الکتریکی سازند داریان در میدان نفتی رشادت انجام شد.

مدل سازی ساختمانی میدان نفتی بررسی شده

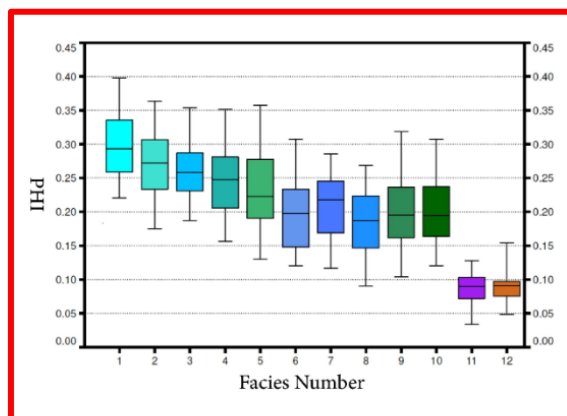
ساخت مدل ساختمانی میدان بررسی شده به منظور تعیین چارچوبی برای ساخت مدل سه بعدی رخساره های الکتریکی الزامی است.

۱. شکل هندسی ساختار میدان نفتی بررسی شده

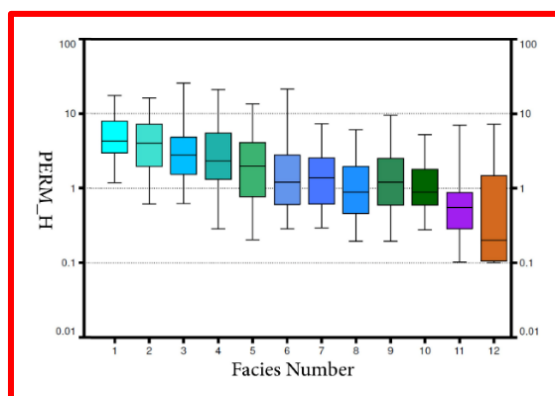
ساختار میدان نفتی بررسی شده، تاقدیسی با روند شمال شرق - جنوب غرب با حدود ۱۵ کیلومتر طول در امتداد محور خود است که حدوداً ۱۰ کیلومتر عرض در بزرگ‌ترین واحد مخزنی خود یعنی سازند داریان دارد. این میدان، ساختاری گنبدی ملایم با شیب ۱ الی ۳ درجه در دامنه‌هاست و قله این گنبد در لایه‌های مخزنی بسیار هموار است. نقشه‌های تراز زیرسطحی که از تفسیر داده‌های لرزه‌ای حاصل شدند به‌خوبی نشان‌دهنده شکل هندسی ساختار است (شکل ۱۱). چنان‌که شکل ۱۱ نشان می‌دهد، تاقدیس میدان نفتی بررسی شده، گسترده، ملایم و تا حدودی کشیده با روند شمال - شمال شرق است که شیب دامنه شرقی آن نسبتاً تندتر است.



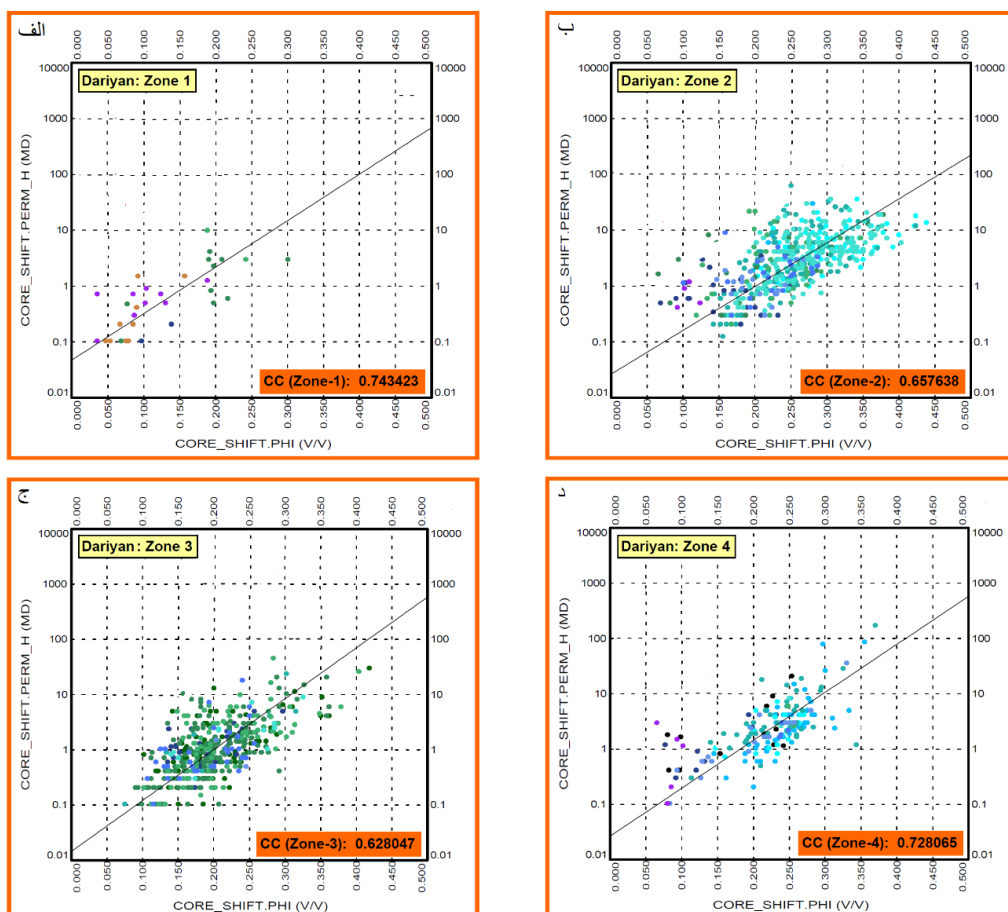
شکل ۴. نمودار جعبه‌ای تخلخل مؤثر برای رخساره‌های الکتریکی سازند داریان



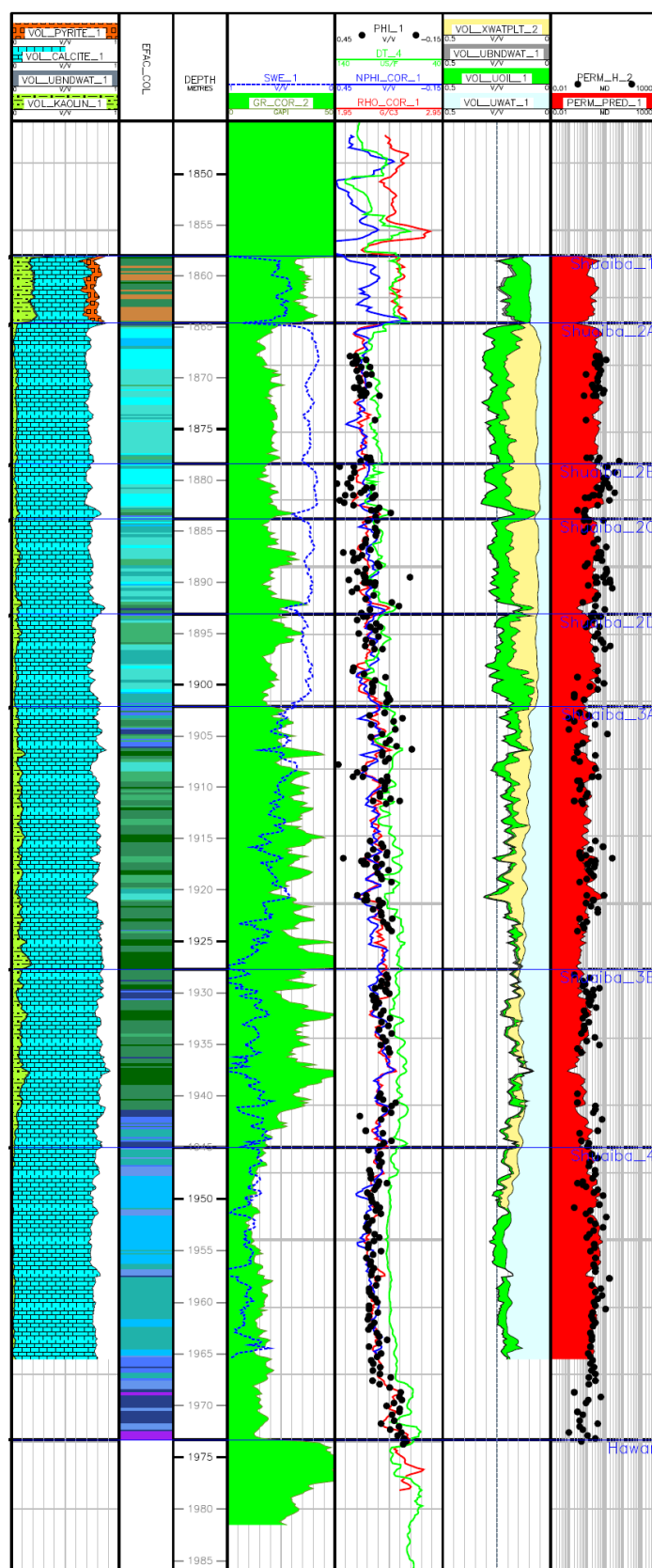
شکل ۵. نمودار جعبه‌ای تخلخل مغزه برای رخساره‌های الکتریکی سازند داریان



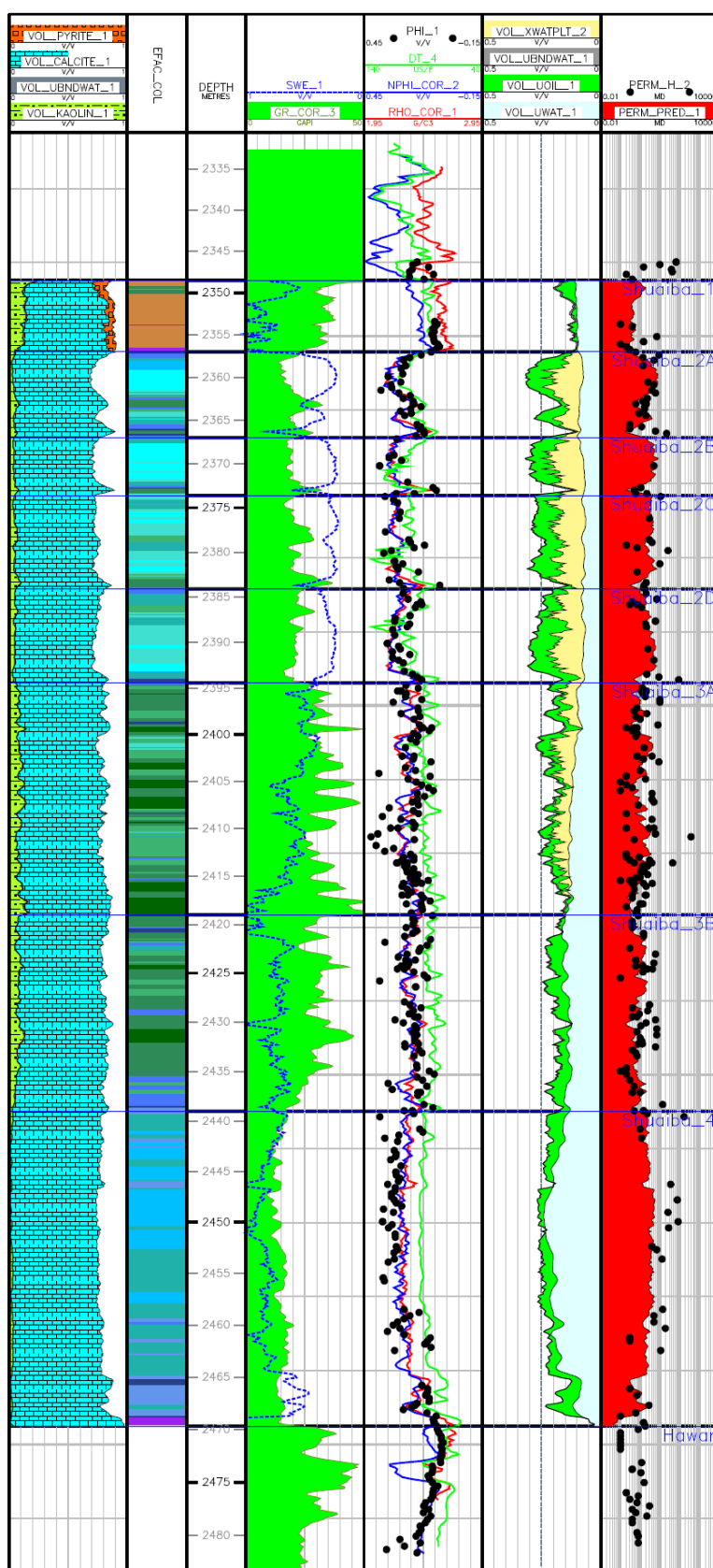
شکل ۶. نمودار جعبه‌ای تراوایی افقی مغزه برای رخساره‌های الکتریکی سازند داریان



شکل ۷. رابطه تخلخل و تراوایی همراه با ضریب رگرسیون در هر یک از زون‌های سازند داریان. رنگ‌ها نشان‌دهنده رخساره‌های الکتریکی شناسایی شده هستند. الف) رابطه تخلخل و تراوایی در زون ۱، ب) رابطه تخلخل و تراوایی در زون ۲، ج) رابطه تخلخل و تراوایی در زون ۳ و د) رابطه تخلخل و تراوایی در زون ۴ است



شکل ۸. وضعیت پتروفیزیکی، توزیع رخساره‌های الکتریکی و نمودار تخمین تراوایی در چاه AR-12



شکل ۹. وضعیت پتروفیزیکی، توزیع رخنه‌های الکتریکی و نمودار تخمین تراوایی در چاه AR-16

۲. گسل‌های میدان نفتی بررسی شده

بر اساس تفسیر لرزه‌نگاری، دو گسل اصلی با روند شمال شرق- جنوب غرب در ساختمان تاق‌دیزی میدان نفتی بررسی شده شناسایی شده است. گسل ۱. گسلی نرمال با طول حدود ۱۳ کیلومتر است که در جنوب غرب ساختار تاق‌دیزی میدان قرار گرفته است. این گسل دارای امتداد و شیب N146, 68 S – SW است و حداکثر افت قائم ناشی از این گسل ۳۳ متر است. گسل ۲. گسلی نرمال با حدود ۱۱ کیلومتر طول است که در فاصله ۱ الی ۲ کیلومتری غرب گسل ۱ قرار دارد. این گسل دارای امتداد و شیب N150, 79 N – NE است (گزارش داخلی شرکت نفت فلات قاره، ۱۳۸۷). مدل گسل‌های سازند داریان در میدان نفتی بررسی شده با کمک نرم‌افزار پترل ایجاد شد (شکل ۱۱). سطح تماس آب و نفت میدان نفتی بررسی شده در عمق ۱۵۲۸ متری و در طول میدان ثابت در نظر گرفته شده است. (گزارش داخلی شرکت نفت فلات قاره، ۱۳۸۷). این سطح را می‌توان با نرم‌افزار پترل در عمق مورد نظر ایجاد کرد (شکل ۱۰).

مدل سازی رخساره‌ای

بعد از ساخت مدل ساختمانی مخزن، مخزن در جهت‌های افقی X و Y شبکه‌بندی شد. ابعاد هر یک از این سلول‌ها با توجه به ابعاد مخزن تعیین می‌شود. بعد از شبکه‌بندی در جهت‌های افقی باید مخزن در جهت عمودی نیز تفکیک شود. با توجه به این که قدرت تفکیک اطلاعات عمودی از اطلاعات جانبی مخزن بیشتر است، باید تقسیم‌بندی مخزن در جهت عمودی کوچک‌تر باشد. در این مرحله با وارد کردن نقشه‌های تراز زیرسطحی هر زون مخزنی، زون‌های مخزنی نیز ساخته می‌شوند، تا برای مدل‌سازی رخساره‌ای هر زون استفاده شوند. در این پژوهش، مخزن در جهت افقی به صورت سلول‌های ۵۰ در ۵۰ و در جهت عمودی به صورت یک متری لایه‌بندی شد. حاصل این کار، تقسیم بندی مخزن به صورت سلول‌هایی با طول و عرض ۵۰ متر و ارتفاع ۱ متر است. با توجه به این که معمولاً اندازه سلول‌های مخزن در جهت عمودی بزرگ‌تر از بازه اندازه‌گیری ابزارهای نمودارگیری است، ممکن است یک سلول در جهت عمودی دارای چندین مقدار اندازه‌گیری پارامتر مورد نظر باشد، حال آن که هر سلول باید فقط یک مقدار مشخص از پارامتر مورد نظر را داشته باشد. از این رو، اطلاعات رخساره‌های الکتریکی باید درشت‌نمایی^۱ شوند تا برای هر سلول فقط یک مقدار از پارامتر مورد نظر تخصیص داده شود. بعد از درشت‌نمایی داده‌ها، مدل‌های واریوگرافی رخساره‌ها بر هر یک از زون‌ها در دو جهت افقی و جهت عمودی در نرم‌افزار پترل مشخص شدند.

نتایج تعیین واریوگرام‌های الکتریکی سازند داریان در میدان نفتی بررسی شده در جدول ۳ نشان داده شده است. در این جدول مشخصات واریوگرام‌های تعیین شده در سه جهت فضایی به صورت مختصر بیان شده است. واریوگرام‌های تعیین شده دارای اثر قطعه‌ای بسیار پایینی هستند که نشان‌دهنده مدل‌های واریوگرافی مناسب است، زیرا استفاده از مدل‌های واریوگرافی با اثر قطعه‌ای بالا باعث می‌شود رخساره‌های الکتریکی شبیه‌سازی شده و ویژگی‌های آن‌ها، دارای خطای زیاد باشند. اثر قطعه‌ای بیان‌کننده تغییرات نسبتاً شدید متغیر در فواصل کوچک، تغییرپذیری در مقیاس فضایی کوچک‌تر از مقیاس نمونه‌برداری و یا دقت کم در اندازه‌گیری متغیر است [۲۳].

1. Scale up

بعد از تحلیل داده ها و تعیین مدل های واریوگرافی، باید از یکی از روش های زمین آماری برای مدل سازی سه بعدی رخساره های لاگ استفاده شود. در نرم افزار پترل روش های مختلف قطعی و احتمالی برای مدل سازی متغیرهای گسسته (از قبیل رخساره ها) تعبیه شده است. در این پژوهش از روش احتمالی شبیه سازی شاخص متوالی^۱ SIS استفاده شد. به بیانی دیگر، در مدل سازی رخساره بهتر است از روش های احتمالی استفاده شود که در بین روش های احتمالی، روش SIS معروف ترین روش توزیع رخساره ها است [۲]. منظور از روش های احتمالی بدین معنی است که با هر بار اجرا کردن مدل با پارامترهای یک سان (ولی Seed متفاوت) آن چه ساخته می شود با دیگری متفاوت است و هر نتیجه یک تحقق^۲ نامیده می شود. هرچه یک مدل به تعداد بیش تری ساخته شود، می توان آن ها را با هم مقایسه کرده و محتمل ترین مدل را که به تعداد بیش تر تولید شده است به عنوان بهترین مدل انتخاب کرد [۲].

شکل ۱۱ الف، مدل سه بعدی رخساره های الکتریکی زون ۱ سازند داریان در میدان نفتی بررسی شده را نشان می دهد. بر مبنای مدل، این زون دارای رخساره های الکتریکی ۱۲، ۱۱، ۱۰ و ۹ است که رخساره الکتریکی ۱۲ بیش ترین فراوانی را دارد. چنان که قبلاً در مورد کیفیت مخزنی رخساره های الکتریکی گفته شد، رخساره های الکتریکی ۱۲ و ۱۱ با کم ترین کیفیت مخزنی، گسترش زیادی در این زون دارند. از این رو، این زون کم ترین کیفیت مخزنی را دارد به گونه ای که می توان این زون را یک زون غیرمخزنی قلمداد کرد. رخساره الکتریکی ۱۲ تنها در این زون دیده شده و معرف سنگ آهک های آرژیلیتی پیریتی است. رخساره الکتریکی ۱۰ چنان که قبلاً بیان شد، معرف سنگ آهک های تمیز کم تخلخل است. رخساره های الکتریکی ۱۰ و ۹ نیز دارای میزان گامای زیاد هستند که معرف سنگ آهک های آرژیلیتی هستند.

شکل ۱۱ ب، مدل سه بعدی رخساره های الکتریکی زون ۲ سازند داریان در میدان نفتی بررسی شده را نشان می دهد. بر اساس این مدل، این زون دارای رخساره های الکتریکی ۱، ۲، ۳، ۴ و ۸ است. رخساره های الکتریکی ۱، ۲ و ۳ دارای بیش ترین کیفیت مخزنی هستند که گسترش زیادی در این زون دارند. از این رو، این زون دارای کیفیت مخزنی بالایی است. چنان که قبلاً بیان شد، بر مبنای اطلاعات توصیف مغزه این زون شامل سنگ آهک های تمیز است که تطابق مناسبی با رخساره های الکتریکی این زون دارد (رخساره های الکتریکی این زون دارای گامای بسیار کمی هستند).

شکل ۱۱ ج، مدل سه بعدی رخساره های الکتریکی زون ۳ سازند داریان را نشان می دهد. بر اساس این مدل، این زون دارای رخساره های الکتریکی ۴، ۵، ۸، ۹ و ۱۰ است. رخساره الکتریکی ۹ بیش ترین فراوانی را در این زون دارد. این رخساره الکتریکی دارای مقدار نسبتاً زیادی از اشعه گاما است و کیفیت مخزنی کمی دارد. بنابر اطلاعات توصیف مغزه، این زون شامل سنگ آهک های آرژیلیتی است، که گسترش الکتروفاسیس های ۹ و ۱۰ مؤید این امر است. هر چند رخساره های الکتریکی ۴ و ۵ که گامای کمی دارند نیز به مقدار کم در این زون وجود دارند. این زون از نظر کیفیت مخزنی شرایط مناسب تری نسب به زون ۱ دارد ولی کیفیت مخزنی کم تری نسبت به زون ۲ دارد.

شکل ۱۱ د، مدل سه بعدی رخساره های الکتریکی زون ۴ سازند داریان در میدان نفتی بررسی شده را نشان می دهد. بر اساس این مدل، این زون دارای رخساره های الکتریکی ۱، ۲، ۳، ۴، ۵، ۶، ۷، ۸ و ۱۱ است. رخساره های ۳، ۴، ۶ و ۷

بیشترین گسترش را در این زون دارند. توزیع رخساره‌های الکتریکی با بیشترین کیفیت مخزنی (۱، ۲ و ۳) در این زون نسبت به زون ۲ کمتر است. از این رو، این زون کیفیت مخزنی کمتری نسبت به زون ۲ و کیفیت مخزنی بیشتری نسبت به زون‌های ۱ و ۳ دارد. بر مبنای اطلاعات توصیف مغزه، این زون شامل تمیزترین سنگ آهک‌های سازند داریان در میدان نفتی بررسی شده است که توزیع رخساره‌های الکتریکی دارای گامای پایین آن را تأیید می‌کند.

جدول ۱. سازندها و ترکیب سنگ‌شناسی آن‌ها در چاه R-32 میدان نفتی رشادت [۱۳]

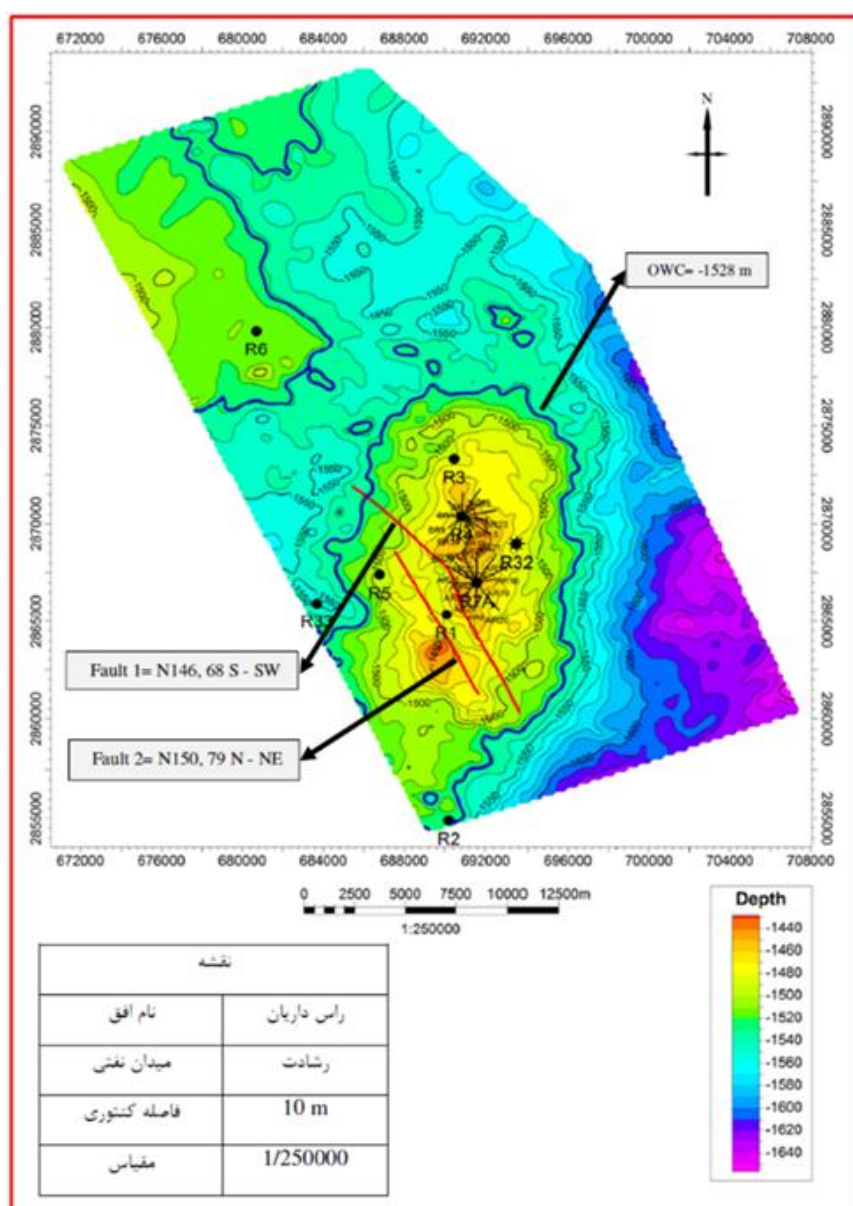
سازند	سنگ شناسی	ضخامت (متر)
آسماری	دولوستون‌های درشت‌بلور به همراه فسیل Elphidium sp.	۷۵
چهرم	دولوستون با نشانه‌هایی از انیدریت	۶۰۵
گورپی	شیل و شیل آهکی به همراه فسیل Heterohelix	۴۶
ایلام	شیل آهکی میکرایتی به همراه فسیل Rotalia skourensis	۱۰۰
لافان	شیل با رخساره قاره‌ای	۲۴
سروک	سنگ آهک به همراه خرده‌های رودیست	۱۸۷
کژدمی	شیل به همراه گلاکونیت و فسیل اربیتولینا	۶۵
داریان	سنگ آهک میکرایتی، مادستون تا وکستون و سنگ آهک اربیتولین دار	۱۳۷
گدوان	سنگ آهک میکرایتی رسی با بخش خلیج	۴۹
فهلپان	دولوستون، سنگ آهک دولومیتی همراه با اکتینوئید	۳۵۲
هیث	انیدریت	۷۴
سورمه	سنگ آهک	۷۴۴
نیریز	شیل با دولوستون و اینتروال‌های آهکی	۱۷
دشتک	شیل آغار همراه با تبخیری	۳۴۶
کنگان	دولوستون همراه با شیل در قسمت‌های بالایی	۱۷۰
دالان	دولوستون‌های آهکی با انیدریت در قاعده	۳۵۴

جدول ۲. داده‌های موجود در چاه‌های در دسترس از سازند داریان در میدان نفتی رشادت

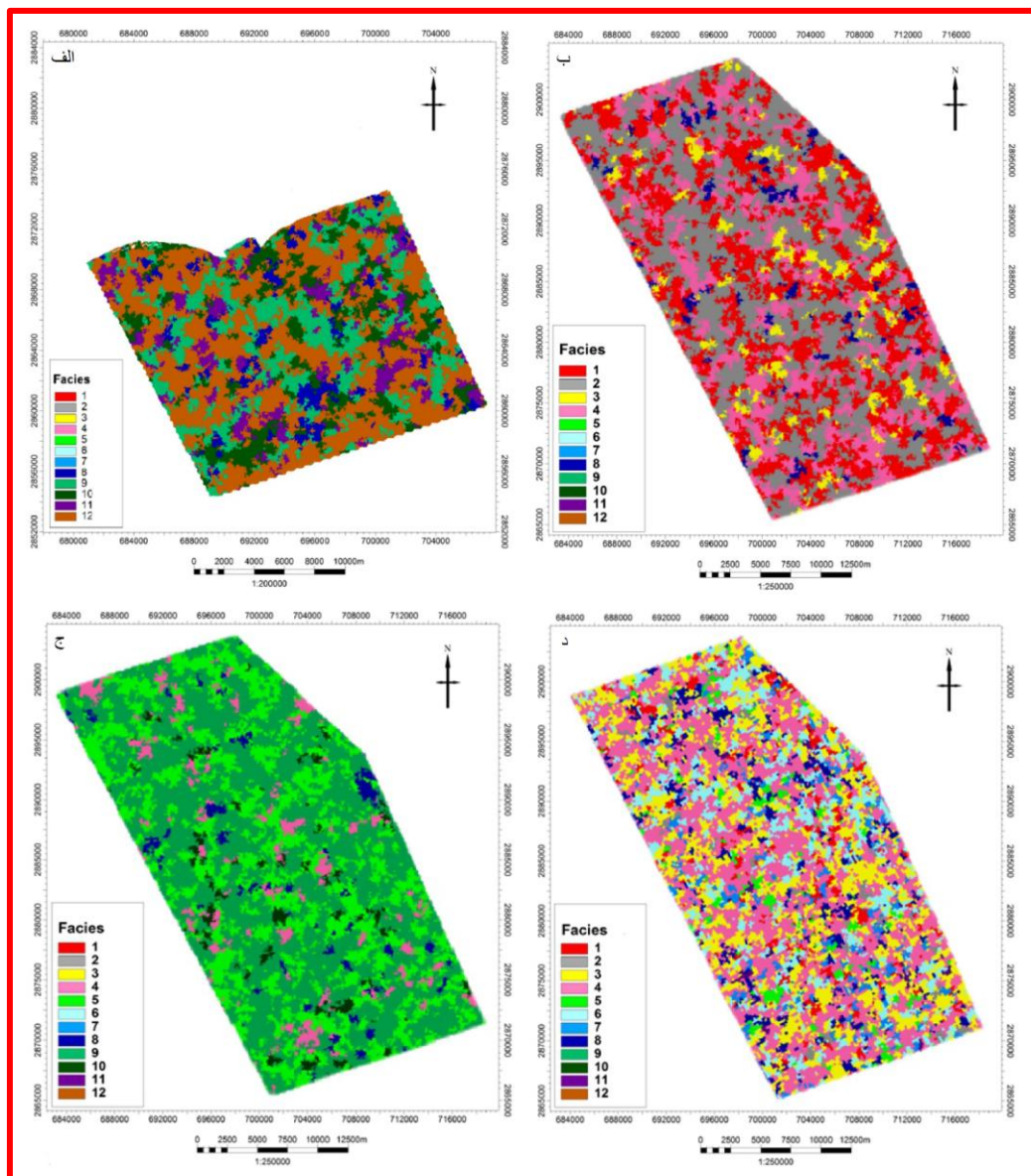
No.	Well	Caliber log	GR-log	Sonic log	Density log	Neutron log	Resistivity log	Core
1	R-1	CALI	GR	DT	Unavailable	NEUT	ILD/LL7/MIL	★
2	R-2	CALI	GR	Unavailable	Unavailable	NEUT	LL7/MIL	★
3	R-3	CALI	GR	DT	RHOB	NEUT	LL7/MIL	★
4	R-4	CALI	GR	Unavailable	RHOB	NEUT	ILD/LL7/MIL	★
5	R-5	CALI	GR	DT	RHOB	NEUT	ILD/LL7/MIL	★
6	R-6	CALI	GR	DT	RHOB	NEUT	ILD/LL7/MIL	★
7	R-32	CALI	GR	DT	RHOB	Unavailable	ILD	
8	R-33	Unavailable	Unavailable	Unavailable	Unavailable	Unavailable	Unavailable	
9	R-7a	CALI	GR	Unavailable	RHOB	NEUT	ILD/LL7/MIL	
10	AR-8	Unavailable	GR	Unavailable	Unavailable	NEUT	ILD	★
11	AR-10	CALI	GR	DT	RHOB	SNP	LL7/MIL	★
12	AR-12	CALI	GR	DT	RHOB	SNP	ILD/LL7/MIL	★
13	AR-14	CALI	GR	Unavailable	RHOB	Unavailable	ILD	
14	AR-16	CALI	GR	DT	RHOB	SNP	ILD/LL7/MIL	★
15	AR-18	CALI	GR	Unavailable	RHOB	Unavailable	ILD	
16	AR-20	CALI	GR	DT	RHOB	SNP	LL7/MIL	★
17	AR-22	CALI	GR	Unavailable	RHOB	Unavailable	ILD	
18	AR-24	CALI	GR	Unavailable	RHOB	Unavailable	ILD	
19	AR-26	CALI	GR	Unavailable	RHOB	Unavailable	ILD	
20	AR-28	CALI	GR	Unavailable	RHOB	Unavailable	ILD	
21	BR-9	Unavailable	GR	Unavailable	RHOB	NEUT	ILD	
22	BR-11	CALI	GR	DT	RHOB	SNP	ILD/LL7/MIL	★
23	BR-13	CALI	GR	DT	RHOB	SNP	ILD/LL7/MIL	★
24	BR-15	CALI	GR	Unavailable	RHOB	Unavailable	ILD	
25	BR-17	CALI	GR	Unavailable	RHOB	Unavailable	ILD	
26	BR-19	CALI	GR	DT	RHOB	SNP	ILD/LL7/MIL	
27	BR-21	CALI	GR	Unavailable	RHOB	Unavailable	ILD	
28	BR-23	CALI	GR	Unavailable	RHOB	Unavailable	ILD	
29	BR-25	CALI	GR	Unavailable	RHOB	Unavailable	ILD	
30	BR-27	CALI	GR	Unavailable	RHOB	Unavailable	ILD	
31	BR-29	CALI	GR	Unavailable	RHOB	Unavailable	ILD	

جدول ۳. ویژگی‌های واریوگرام‌های تعیین شده برای هر یک از زون‌های سازند داریان

متغیر	نام زون	زاویه	مدل	Major Range	Minor Range	Vertical Range	Nugget	Sill
رخساره الکتریکی	زون ۱ داریان	35.7	کروی	4326	3154	6.5	0.01	1
	زون ۲ داریان	59.1	کروی	3648	2764	6.3	0	1
	زون ۳ داریان	67.2	کروی	3858	2940	8	0.025	1
	زون ۴ داریان	43.7	کروی	4250	3523	5.1	0.015	1



شکل ۱۰. وضعیت ساختمانی میدان نفتی بررسی شده به همراه سطح آب و نفت و موقعیت چاه‌ها



شکل ۱۱. مدل های سه بعدی رخساره های الکتریکی. الف) مدل سه بعدی رخساره های الکتریکی زون ۱ داریان در میدان نفتی رشادت، ب) مدل سه بعدی رخساره های الکتریکی زون ۲ داریان در میدان نفتی رشادت، ج) مدل سه بعدی رخساره های الکتریکی زون ۳ داریان در میدان نفتی رشادت، د) مدل سه بعدی رخساره های الکتریکی زون ۴ داریان در میدان نفتی رشادت

نتیجه گیری

با توجه به محدودیت بسیار زیاد تحقیقات پتروگرافی سازند داریان در میدان نفتی رشادت، شناسایی و مدل سازی سه بعدی رخساره های الکتریکی کمک شایانی در بررسی کیفیت مخزنی و مدل سازی مخزنی می کند. نتایج حاصل بدین شرح است:

۱۲ رخساره الکتریکی به روش MRGC در سازند داریان در میدان نفتی رشادت بررسی شده شناسایی شد که در آنها

به‌طور کلی از رخساره الکتریکی ۱ به سمت رخساره الکتریکی ۱۲ کیفیت مخزنی کاهش می‌یابد.

مدل‌سازی ساختار میدان نفتی بررسی شده بیان‌گر تاق‌دیزی با روند شمال شرق- جنوب غرب با ساختاری گنبدی ملایم با شیب ۱ الی ۳ درجه بوده و قلّه این گنبد در لایه‌های مخزنی بسیار هموار است.

بررسی‌های پتروفیزیکی سازند داریان در تعدادی از چاه‌های بررسی شده نشان می‌دهد که زون ۱ به دلیل تخلخل و تراوایی کم، اشباع آب زیاد و توزیع رخساره‌های الکتریکی با کیفیت مخزنی کم، اهمیت مخزنی چدانی ندارد. در حالی که زون ۲ به دلیل اشباع آب کم، تخلخل و تراوایی بیش‌تر نسبت به سایر زون‌ها، مهم‌ترین زون مخزنی سازند داریان در میدان نفتی بررسی شده است. قسمت‌های بالایی زون ۳ و بعضی از قسمت‌های زون ۴ نیز اهمیت مخزنی زیادی دارند.

مدل‌های سه‌بعدی ساخته شده، نشان می‌دهد که رخساره الکتریکی ۱۲ تنها در زون یک وجود دارد. از این‌رو این رخساره الکتریکی معرف سنگ آهک‌های آرژیلیتی پیریتی است. رخساره‌های الکتریکی ۱۰، ۱۱ و ۸ نیز در زون یک وجود دارند. به دلیل وجود رخساره‌های الکتریکی با کیفیت مخزنی اندک در این زون، می‌توان این زون را یک زون غیرمخزنی در نظر گرفت.

توزیع رخساره‌های الکتریکی با کیفیت مخزنی بالا (۱، ۲ و ۳) عمدتاً در زون ۲ مشاهده می‌شود، از این‌رو می‌توان زون ۲ مخزن داریان را مهم‌ترین افق مخزنی سازند داریان در میدان نفتی بررسی شده دانست.

توزیع رخساره‌های الکتریکی در زون ۳ سازند داریان بیش‌تر شامل رخساره‌های الکتریکی با مقدار گامای زیاد است که کیفیت مخزنی کمی دارد اما نسبت به زون ۱ کیفیت مخزنی بیش‌تری دارد.

توزیع رخساره‌های الکتریکی زون ۴ شامل رخساره‌های الکتریکی با کیفیت مخزنی زیاد است، اما فراوانی آن‌ها نسبت به زون ۲ کم‌تر است ولی کیفیت مخزنی بالاتری نسبت به زون‌های ۱ و ۳ دارد.

مدل‌های سه‌بعدی ساخته شده نیز با نتایج بررسی‌های پتروفیزیکی زون‌های سازند داریان مطابقت بیش‌تری دارد و نشان می‌دهد رخساره‌های الکتریکی می‌توانند نقش شایانی در سرشت نمایی مخازن ایفا کنند.

منابع

۱. آقائاتی ع.، "زمین‌شناسی ایران"، انتشارات سازمان زمین‌شناسی کشور، تهران (۱۳۸۳) ۵۲۰.
۲. امین‌زاده ع.، میرجردوی ن.، نوری طالقانی م.، "مدل‌سازی استاتیک مخازن نفت و گاز و تفسیر سائیزمیک با استفاده از نرم‌افزار پترل"، انتشارات آزاده، تهران (۱۳۹۲) ۳۰۴.
۳. توکلی و.، "تجزیه و تحلیل رخساره‌های الکتریکی سازند آسماری در میدان مارون"، پایان‌نامه کارشناسی ارشد، دانشگاه تهران (۱۳۸۴).
۴. رحیمی بهار ع. ا.، حسین پورصیامی ح.، "تفکیک زون‌های مختلف مخزن هیدروکربنی با کمک رخساره‌های الکتریکی"، پژوهش نفت، سال بیست و دوم، ۷۲ (۱۳۹۱) ۱۵۳-۱۴۴.
۵. رضایی پرتو ک.، رحیم‌پوربناب ح.، کدخدایی ع.، آرین م.، حاجی کاظمی، ا.، "بررسی رخساره‌های میکروسکوپی، محیط رسوبی و فرایندهای دیاژنز مخزن داریان در میدان نفتی سلمان"، علوم زمین، سال بیست و پنجم، شماره ۹۷ (۱۳۹۴) ۲۶۷-۲۷۸.
۶. رهسپار ا.، کدخدایی ع.، بنی بیدهندی م.، "تعیین رخساره‌های الکتریکی مخزنی با استفاده از روش‌های خوشه‌سازی (MRGC, AHC SOM, DYNCLUST) در بخش عرب در چاه 05 - 2S میدان نفتی سلمان"، پژوهش نفت، سال

- بیست و پنجم، شماره ۸۷ (۱۳۹۳) ۱۰۷-۱۱۷.
۷. سفیداری ا.، دشتی ع.، کدخدایی ع.، اسدی‌اسکندر ا.، "مدل‌سازی گروه‌های رخساره‌ای بر اساس داده‌های زمین‌شناسی و پتروفیزیکی (لاگ‌های چاه‌پیمایی) در میدان گازی پارس جنوبی"، پژوهش نفت، سال بیست و پنجم، شماره ۸۳ (۱۳۹۳) ۸۳-۹۵.
۸. فرازانی ن.، خوشبخت ف.، توکلی و.، "بهبود تعیین نوع رخساره الکتریکی با تلفیق لاگ‌های چاه‌پیمایی و تصویرگر در سازند آسماری با استفاده از روش خوشه‌بندی گرافیک MRGC"، نشریه پژوهش نفت، دوره ۲۵، شماره ۸۳، (۱۳۹۴) ۱۸۶-۱۹۴.
۹. اقبال‌کیانی ز.، گلی ط.، جلیلیان ع.، کدخدائی ر.، "تجزیه و تحلیل رخساره‌های الکتریکی سازند سروک (کرتاسه میانی) با روش MRGC و مطابقت با ریزرخساره‌های رسوبی در یکی از میادین نفتی جنوب غرب"، زمین‌شناسی نفت ایران. سال ششم، شماره ۱۱ (۱۳۹۵) ۱-۲۱.
۱۰. گزارشات داخلی شرکت نفت فلات قاره (۱۳۸۷).
۱۱. مدنی آ.، کمری م.، رستمیان ع.، "مدل‌سازی الکتروفاسیس و پیش‌بینی لاگ با استفاده از نرم‌افزار ژئولاگ"، کتاب آوا، (۱۳۹۴) ۲۵۵.
12. Edgell H. S., "Basment Tectonics of Saudi Arabi as Related to Oil Field Structures", Eds., Dordrecht: Kluver Acad. Publ., v.9 (1992) 169-193.
13. Ghazban F., "Petroleum Geology of the Persian Gulf. Tehran University and National Iranian Oil Company", Tehran (2007) 707.
14. Jamshidnezhad M., "Experimental design in petroleum reservoir studies", Gulf Professional Publishing is an imprint of Elsevier, NewYork (2015) 175.
15. Kelkar M., Perez D., "Applied Geostatistics for Reservoir Characterization" Society of Petroleum Engineers (2002) 264.
16. Lee, S. H., Kharghoria A., Datta-Gupta A., "Electrofacies characterization and permeability predictions in complex reservoirs", SPE Reservoir Evaluation & Engineering, 5 (2002) 237-248.
17. Murris R. J., "Middle East stratigraphic evolution and oil habitat: American Association of Petroleum Geologists Bulletin", v. 64 (1980) 597-618.
18. Nairn A. E. M., Alsharhan A. S., "Sedimentary basins and petroleum geology of the Middle East. Elsevier, Amsterdam (1997) 843.
19. Perez H. H., Datta-Gupta A., Mishra S., "The role of electrofacies, lithofacies, and hydraulic flow units in permeability predictions from well logs: a comparative analysis using classification trees. SPE Reservoir Evaluation & Engineering, v. 8, No. 02 (2005) 143-155.
20. Rabiller Ph., Ye S. J., "New tools for electrofacies analysis: multi-resolution graph-based clustering", SP-WLA 41st Annual Logging Symposium Transaction (2000) 4-7.
21. Sepehr M., Cosgrove J. W., "Structural framework of the Zagros fold-thrust belt, Iran",

- Marine and Petroleum geology. v. 21 (2004) 829-843.
22. Tiab D., Donaldson E. C., "Petrophysics: Theory and Practice of Measuring Reservoir Rock and Fluid Transport Properties", Fourth Edition, Gulf Professional Publishing (2015) 918.
23. Zou F., "Geologic and Engineering Modeling. Developments in Petroleum Science. 61, (2013) 621-656.